

ПРОПУСКНАЯ СПОСОБНОСТЬ СЛУЧАЙНЫХ КАНАЛОВ ММО

Введение

Одним из основных условий развития современных беспроводных телекоммуникаций является дальнейшее повышение их пропускной способности (ПС) при жестких ограничениях на ширину полосы рабочих частот и уровень излучаемой мощности.

В большинстве случаев среда передачи представляет радиолинии в условиях города при отсутствии прямой видимости, где электромагнитные волны приходят в точку приема в результате многолучевого распространения, что вызывает флуктуации амплитуды, фазы временной задержки, угла прибытия принимаемого сигнала и как следствие – его замирания (fading). Именно нестационарное поведение канала вследствие замираний является главной проблемой беспроводных телекоммуникаций в плане обеспечения требуемой ПС.

Хотя методы пространственной обработки известны уже давно и широко используются в радиолокации, в системах радиосвязи они стали применяться сравнительно недавно и сегодня являются наиболее эффективными в решении таких задач, как борьба с интерференцией, повышение помехозащищенности, пропускной способности, дальности передачи и т.д.

В основе пространственной обработки лежит адаптивная пространственно-временная обработка сигналов (Space Time Processing – STP) с цифровым диаграммоформированием (DBF – Digital Beam Forming) на базе многоэлементных антенн. Когда на приемной и передающей части используются многоэлементные антенны – это система с множественным входом и множественным выходом (ММО – Multiple Input Multiple Output). Суть такой системы в одновременной передаче данных по нескольким подканалам.

Применение ММО для современных систем радиосвязи видится эффективной технологией дальнейшего повышения ПС и дальности передачи с учетом нестационарного поведения канала связи вследствие замираний.

Цель работы – обобщение известных результатов по определению ПС детерминированных и эргодических каналов при определенной вероятности нарушения связи в канале.

Пропускная способность детерминированных и эргодических ММО каналов

Пусть система связи с ММО состоит из N_T передающих и N_R приемных антенных элементов (АЭ), как это показано на рис. 1.

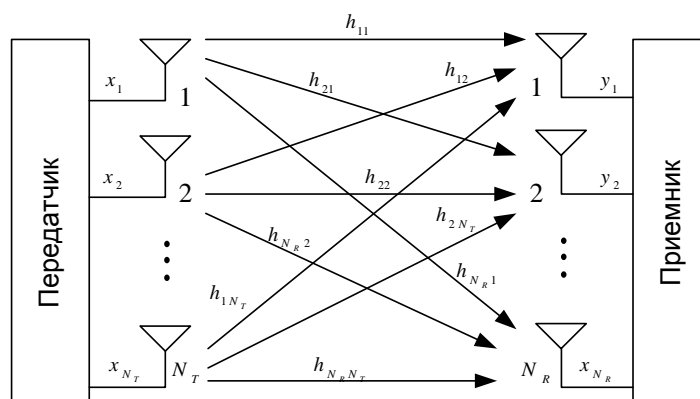


Рис. 1

Канал связи ММО можно представить с помощью канальной матрицы \mathbf{H} размерности $N_R \times N_T$, элементы которой в общем комплекснозначные коэффициенты передачи \hat{h}_{nm} от

m -го входа (m -го передающего антенного элемента) на n -й выход (n -й приемный антенный элемент).

Пусть антенные элементы (АЭ) передатчика формируют на входах канала ММО $i = 1 \dots N_T$ независимых, непрерывных, комплекснозначных сигнала $x_i(t)$, которые можно представить в виде вектора $\mathbf{x}^T = [x_1(t) \ x_2(t) \ \dots \ x_{N_T}(t)]$ размерности $N_T \times 1$ (здесь T – операция транспонирования). Тогда на $j = 1 \dots N_R$ выходах канала ММО (на входах АЭ приемника) можно получить сигналы $y_j(t)$ в матричном виде:

$$\mathbf{y} = \mathbf{H} \cdot \mathbf{x} + \mathbf{n}, \quad (1)$$

где $\mathbf{y}^T = [y_1(t) \ y_2(t) \ \dots \ y_{N_R}(t)]$ – вектор входных сигналов в АЭ приемника размерности $N_R \times 1$; $\mathbf{n}^T = [n_1(t) \ n_2(t) \ \dots \ n_{N_R}(t)]$ – вектор шума размерности $N_R \times 1$, элементы которого – случайные процессы (СП) с гауссовским распределением, некоррелированные во времени, с нулевыми математическими ожиданиями и дисперсией [1].

ПС детерминированного канала ММО для комплекснозначных непрерывных входных и выходных сигналов \mathbf{x} и \mathbf{y} можно определить как максимум взаимной дифференциальной энтропии при некоторой функции плотности вероятности (ФПВ) входного сигнала \mathbf{x} [2]:

$$C = \max_{p(\mathbf{x})} \{ \bar{I}(\mathbf{x}; \mathbf{y} | \mathbf{H}) \}, \quad (2)$$

где

$$\bar{I}(\mathbf{x}; \mathbf{y} | \mathbf{H}) = \bar{I}_{diff}(\mathbf{y} | \mathbf{H}) - \bar{I}_{diff}(\mathbf{n}) \quad (3)$$

взаимная дифференциальная энтропия, которая представляет среднюю взаимную информацию в канале ММО для векторов входного \mathbf{x} и выходного \mathbf{y} сигнала и шума \mathbf{n} ; $p(\mathbf{x})$ – ФПВ сигнального вектора \mathbf{x} .

Если предположить, что элементы векторов \mathbf{y} и \mathbf{n} – комплекснозначные СП с круговой симметрией, для которых вещественные и мнимые части взаимно независимы, распределены по закону Гаусса с дисперсиями соответственно $\sigma_{Y'}^2 = \sigma_{Y''}^2 = \frac{\sigma_Y^2}{2}$ и $\sigma_{N'}^2 = \sigma_{N''}^2 = \frac{\sigma_N^2}{2}$, то выражение (3) для взаимной дифференциальной энтропии можно представить так [3]:

$$\bar{I}(\mathbf{x}; \mathbf{y} | \mathbf{H}) = \log_2 \left(\frac{\det \mathbf{R}_{YY}}{\det \mathbf{R}_{NN}} \right), \quad (4)$$

где $\det()$ – определитель матрицы, $\mathbf{R}_{XX} = E\{\mathbf{x}\mathbf{x}^H\}$ и $\mathbf{R}_{NN} = E\{\mathbf{n}\mathbf{n}^H\}$ – соответственно автокорреляционные матрицы сигнала \mathbf{x} и шума, которые определяются с учетом (1):

$$\mathbf{R}_{YY} = E\{\mathbf{y} \cdot \mathbf{y}^H\} = \mathbf{H}\mathbf{R}_{XX}\mathbf{H}^H + \mathbf{R}_{NN}, \quad (5)$$

где $E\{\}$ – операция математического ожидания, H – эрмитовое сопряжение.

Если положить, что шумовые компоненты на N_R выходах канала ММО взаимно независимы и имеют дисперсию $\sigma_N^2 = \frac{N_0}{T_s}$ (T_s – длительность информационного символа, N_0 – спектральная плотность мощности шума), автокорреляционную матрицу шума можно представить так:

$$\mathbf{R}_{NN} = E\{\mathbf{n}\mathbf{n}^H\} = \sigma_N^2 \mathbf{I}_{N_R}. \quad (6)$$

где \mathbf{I}_{N_R} – единичная квадратная матрица размерности $N_R \times N_R$.

После преобразования (4) с учетом (5) – (6) получим выражение для взаимной дифференциальной энтропии [3]:

$$\bar{I}(\mathbf{x}; \mathbf{y} | \mathbf{H}) = \log_2 \det \left(\mathbf{I}_{N_R} + \frac{1}{\sigma_N^2} \mathbf{H} \mathbf{R}_{XX} \mathbf{H}^H \right) \quad (7)$$

Соответственно ПС детерминированного канала ММО (2) с учетом (7) будет равна

$$C = \max_{p(\mathbf{x})} \left\{ \log_2 \det \left(\mathbf{I}_{N_R} + \frac{1}{\sigma_N^2} \mathbf{H} \mathbf{R}_{XX} \mathbf{H}^H \right) \right\}. \quad (8)$$

Если невозможно адаптировать передаваемый сигнальный вектор \mathbf{x} с учетом свойств канала (т.е. оптимизировать \mathbf{R}_{XX}), наилучшей стратегией, с точки зрения повышения ПС, будет передача N_T независимых потоков данных с равными мощностями $\sigma_X^2 = \frac{E_s}{T_s}$ (E_s – средняя энергия информационного символа). Ковариационная матрица в этом случае примет вид

$$\mathbf{R}_{XX} = \frac{E_s}{T_s} \cdot \mathbf{I}_{N_T} = \sigma_X^2 \cdot \mathbf{I}_{N_T} \quad (9)$$

и ПС (8) будет

$$C = \log_2 \det \left(\mathbf{I}_{N_R} + \frac{E_s}{N_0} \mathbf{H} \mathbf{H}^H \right). \quad (10)$$

Канальную матрицу \mathbf{H} можно представить с помощью сингулярного разложения (Singular Value Decomposition – SVD) [4]:

$$\mathbf{H} = \mathbf{U} \mathbf{\Sigma} \mathbf{V}^H, \quad (11)$$

где \mathbf{U} и \mathbf{V} – унитарные матрицы размерности соответственно $N_R \times N_R$ и $N_T \times N_T$; $\mathbf{\Sigma}$ – матрица размерности $N_R \times N_T$, диагональные элементы которой – собственные значения матрицы \mathbf{H} вида $\sigma_1 \geq \sigma_2 \geq \dots \geq \sigma_{N_{\min}}$, $N_{\min} = \min(N_T, N_R)$, которые имеют физический смысл коэффициентов передачи, а недиагональные элементы равны нулю.

С учетом (11) матрицу $\mathbf{H} \mathbf{H}^H$ можно представить как

$$\mathbf{H} \mathbf{H}^H = \mathbf{U} \mathbf{\Sigma} \mathbf{V}^H (\mathbf{U} \mathbf{\Sigma} \mathbf{V}^H)^H = \mathbf{U} \mathbf{\Sigma} \mathbf{V}^H \mathbf{V} \mathbf{\Sigma}^H \mathbf{U}^H = \mathbf{U} \mathbf{\Sigma} \mathbf{\Sigma}^H \mathbf{U}^H = \mathbf{U} \mathbf{\Lambda} \mathbf{U}^H, \quad (12)$$

где $\mathbf{\Lambda}$ – диагональная матрица размерности $N_R \times N_R$, элементы которой

$$\lambda_i = \begin{cases} \sigma_i^2, & \text{если } i = 1, 2, \dots, N_{\min} \\ 0, & \text{если } i = N_{\min} + 1, \dots, N_R \end{cases} \quad (13)$$

собственные значения эрмитово симметричной квадратной матрицы $\mathbf{H} \mathbf{H}^H$ (или $\mathbf{H}^H \mathbf{H}$). Из (13) видно, что собственные значения λ_i ($i=1, \dots, N_{\min}$) $\mathbf{H} \mathbf{H}^H$ – квадраты собственных значений σ_i матрицы \mathbf{H} .

Выражение для детерминированной ПС (10) при передаче независимых потоков с равными мощностями с учетом (12) примет вид:

$$\begin{aligned}
C &= \log_2 \det \left(\mathbf{I}_{N_r} + \frac{E_s}{N_0} \mathbf{U} \mathbf{A} \mathbf{U}^H \right) = \log_2 \det \left(\mathbf{U} \left(\mathbf{I}_{N_r} + \frac{E_s}{N_0} \mathbf{A} \right) \mathbf{U}^H \right) = \\
&= \log_2 \det \left(\mathbf{I}_{N_r} + \frac{E_s}{N_0} \mathbf{A} \right) = \log_2 \left[\prod_{i=1}^r \left(1 + \frac{E_s}{N_0} \lambda_i \right) \right] = \sum_{i=1}^r \log_2 \left(1 + \frac{E_s}{N_0} \lambda_i \right)
\end{aligned} \tag{14}$$

где $r = N_{\min}$.

Последнее выражение в (14) можно интерпретировать как суммарную ПС по r независимым виртуальным подканалам SISO или как результат усреднения ПС по собственным подканалам с коэффициентами передачи $\lambda_i = \sigma_i^2$. Можно сказать, что образованные таким образом подканалы представляют собой собственные моды канала MIMO – независимые не взаимодействующие между собой подсистемы.

Если усиление всех виртуальных подканалов SISO λ_i принять равными, т.е.

$$\lambda = \lambda_i = \frac{\xi}{N_{\min}}, \tag{15}$$

где
$$\xi = \sum_{i=1}^{N_{\min}} \lambda_i \tag{16}$$

– суммарное усиление всех подканалов, тогда матрица $\mathbf{H}\mathbf{H}^H$ примет вид

$$\mathbf{H}\mathbf{H}^H = \frac{\xi}{N_{\min}} \cdot \mathbf{I}_{N_{\min}} \tag{17}$$

Важно, что диагональная структура матрицы $\mathbf{H}\mathbf{H}^H$ по-прежнему обеспечивает ортогональность подканалов SISO и ПС (10) согласно (15) – (17)

$$C = N_{\min} \log_2 \left(1 + \frac{E_s}{N_0} \frac{\xi}{N_{\min}} \right). \tag{18}$$

ПС (18) в N_{\min} раз больше ПС отдельного виртуального канала SISO (14).

Важным условием повышения ПС детерминированного канала MIMO является наличие информации о состоянии канала связи (Channel State Information – CSI), что предполагает оценку комплексных коэффициентов передачи матрицы \mathbf{H} на приемной стороне и передачу этой информации по обратному каналу на передатчик. На основании дополнительной предобработки в адаптивной диаграммообразующей схеме (ДОС) передатчика с учетом CSI в канале MIMO могут быть сформированы независимые виртуальные каналы. Покажем это, для чего воспользуемся сингулярным разложением (11) матрицы \mathbf{H} в (1):

$$\tilde{\mathbf{y}} = \mathbf{\Sigma} \tilde{\mathbf{x}} + \tilde{\mathbf{n}}, \tag{19}$$

где $\tilde{\mathbf{y}} = \mathbf{U}^H \mathbf{y}$ и $\tilde{\mathbf{n}} = \mathbf{U}^H \mathbf{n}$ – соответственно векторы сигнала и шума на выходе ДОС приемника, $\tilde{\mathbf{x}} = \mathbf{V}^H \mathbf{x}$ – вектор сигнала на входе ДОС передатчика.

Согласно (19) передачу по каналу MIMO можно представить с помощью обобщенной матрицы $\mathbf{\Sigma}$, куда входят: ДОС передатчика, представленная матрицей \mathbf{V} ; собственно канальная матрица \mathbf{H} и ДОС приемника, представленная матрицей \mathbf{U}^H (рис.2, а).

Поскольку матрица $\mathbf{\Sigma}$ диагональная, уравнение (19) эквивалентно $r = N_{\min}$ уравнениям вида

$$\tilde{y}_i = \sigma_i \tilde{x}_i + \tilde{n}_i, \quad i = 1, 2, \dots, r, \tag{20}$$

которые описывают r независимых собственных виртуальных канала SISO (рис.2, б).

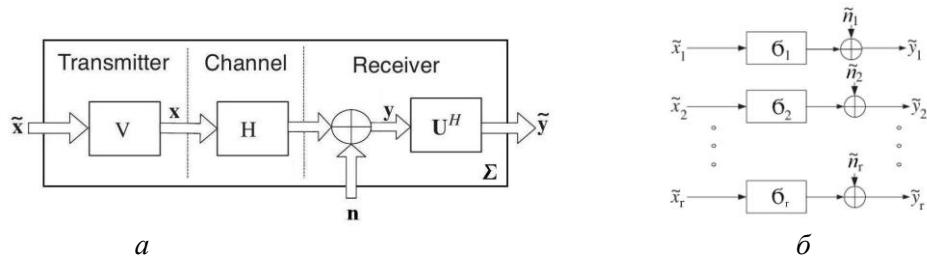


Рис. 2

Представим ПС детерминированного канала MIMO (8) с учетом сингулярного разложения (11) матрицы \mathbf{H} :

$$\begin{aligned}
 C(\mathbf{H}) &= \log_2 \det \left(\mathbf{I}_{N_R} + \frac{1}{\sigma_N^2} \mathbf{U}_H \Sigma_H \mathbf{V}_H^H \mathbf{R}_{XX} \mathbf{V}_H \Sigma_H^H \mathbf{U}_H^H \right) = \\
 &= \log_2 \det \left(\mathbf{I}_{N_R} + \frac{1}{\sigma_N^2} \Sigma_H \mathbf{V}_H^H \mathbf{R}_{XX} \mathbf{V}_H \Sigma_H^H \right)
 \end{aligned} \quad (21)$$

Воспользуемся теперь представлением ковариационной матрицы \mathbf{R}_{XX} по собственным значениям (eigenvalue decomposition) [4]:

$$\mathbf{R}_{XX} = \mathbf{V}_X \mathbf{\Pi} \mathbf{V}_X^H, \quad (22)$$

где $\mathbf{\Pi} = \text{diag}(\eta_i)$ – диагональная матрица с собственными значениями, имеющими физический смысл мощности. Если предположить, что $\mathbf{V}_X = \mathbf{V}_H$, после подстановки (22) в последнее уравнение (21) получим

$$C(\mathbf{H}) = \log_2 \det \left(\mathbf{I}_{N_R} + \frac{1}{\sigma_N^2} \Sigma_H \mathbf{\Pi} \Sigma_H^H \right) = \sum_{i=1}^r \log_2 \left(1 + \frac{1}{\sigma_N^2} \eta_i \sigma_i^2 \right) \quad (23)$$

Согласно (23) ПС канала MIMO представляет собой сумму ПС подканалов с коэффициентами передачи $\lambda_i = \sigma_i^2$, по которым передается мощность η_i .

Для максимизации ПС (23) нужно найти оптимальные уровни мощности η_i , передаваемые по виртуальным подканалам SISO. Так как существует только $r = N_{\min}$ ненулевых сингулярных значений $\sigma_i^2 > 0$ ($i \leq r$) матрицы \mathbf{H} , передача мощности $\eta_i > 0$ по остальным $r < i \leq N_T$ подканалам является нецелесообразной. Именно для максимизации ПС по r подканалам решается оптимизационная задача заполнения объема водой Karush-Kuhn-Tucker

$$\max_{\eta_1 \dots \eta_r} \sum_{i=1}^r \log_2 \left(1 + \sigma_i^2 \frac{\eta_i}{\sigma_N^2} \right), \quad (24)$$

которая в конечном итоге сводится к решению уравнений вида [3]:

$$\eta_i = \frac{\log_2(e)}{\xi} - \frac{\sigma_N^2}{\sigma_i^2}, \quad (25)$$

где ξ – параметр, который определяется исходя из ограничений по мощности:

$$\sum_{i=1}^r \eta_i = \sum_{i=1}^r \left(\frac{\log_2(e)}{\xi} - \frac{\sigma_N^2}{\sigma_i^2} \right) = N_T \cdot \frac{E_s}{T_s}. \quad (26)$$

При решении (25) возможны два случая:

$$\begin{aligned} \text{если } \frac{\log_2(e)}{\xi} > \frac{\sigma_N^2}{\sigma_i^2}, \text{ тогда } \eta_i &= \frac{\log_2(e)}{\xi} - \frac{\sigma_N^2}{\sigma_i^2} > 0; \\ \text{если } \frac{\log_2(e)}{\xi} \leq \frac{\sigma_N^2}{\sigma_i^2}, \text{ тогда } \eta_i &= \frac{\log_2(e)}{\xi} - \frac{\sigma_N^2}{\sigma_i^2} = 0. \end{aligned} \quad (27)$$

Иллюстрация оптимизационной задачи заполнения объема водой представлена на рис. 3.

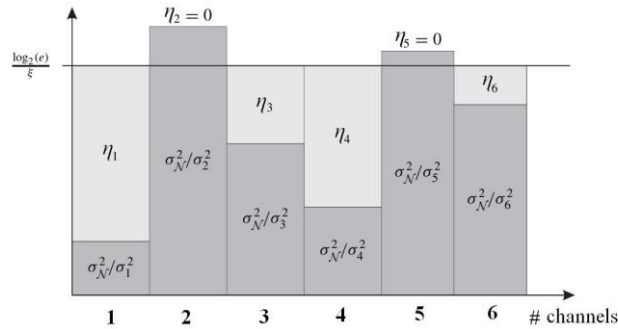


Рис. 3

Высоты водяных столбов представляют различные уровни мощности η_i , передаваемые по подканалам, а высоты дна – величины мощности шума, деленные на квадрат коэффициента передачи в этих подканалах – $\frac{\sigma_N^2}{\sigma_i^2}$. Таким образом, чем выше уровень шума $\frac{\sigma_N^2}{\sigma_i^2}$ в i -м подканале, тем меньшую мощность полезного сигнала следует передавать по нему. Другими словами, большие уровни мощности необходимо передавать по хорошим каналам и наоборот. Если канал плохой $\frac{\log_2(e)}{\xi} \leq \frac{\sigma_N^2}{\sigma_i^2}$, то его и вовсе не следует использовать для передачи ($\eta_i = 0$).

В реальных условиях параметры канала ММО изменяются во времени случайным образом, поэтому элементы матрицы \mathbf{H} – случайные величины и ПС (8) можно найти путем усреднения во времени [3]:

$$\bar{C} = E\{C(\mathbf{H})\} = E\left\{\max_{p(\mathbf{x})}\left\{\log_2 \det\left(\mathbf{I}_{N_R} + \frac{1}{\sigma_N^2} \mathbf{H} \mathbf{R}_{XX} \mathbf{H}^H\right)\right\}\right\}. \quad (28)$$

ПС (28) называется эргодической и представляет среднюю ПС по всем каналам передачи ММО.

Например, эргодическая ПС для канала ММО без учета CSI может быть получена на основании (14) как

$$\bar{C}_{CSI} = E\left\{\sum_{i=1}^r \log_2\left(1 + \frac{\sigma_X^2}{\sigma_N^2} \lambda_i\right)\right\}, \quad (29)$$

а при наличии CSI с учетом (24) как

$$\bar{C}_{CSI} = E\left\{\max_{\eta_1 \dots \eta_r} \sum_{i=1}^r \log_2\left(1 + \frac{1}{\sigma_N^2} \lambda_i \eta_i\right)\right\} = E\left\{\sum_{i=1}^r \log_2\left(1 + \frac{1}{\sigma_N^2} \lambda_i \eta_i^{opt}\right)\right\}. \quad (30)$$

Эргодическая ПС \bar{C} представляет собой среднюю ПС по всем каналам передачи и обычно соответствует случаю каналов с быстрыми замираниями. Наоборот, при расчете ПС канала ММО с медленными замираниями, где время когерентности канала много больше длительности блока кодированного сигнала, важно учитывать ПС с учетом вероятности нарушения связи (Outage Capacity).

ПС канала с учетом вероятности нарушения связи $P_{out}=\varepsilon$ определяется как максимально возможная скорость передачи данных C_ε при условии, что [2]:

$$P_{out}(C_\varepsilon) = \Pr(C(\mathbf{H}) \leq C_\varepsilon). \quad (31)$$

ПС канала с учетом вероятности нарушения связи $P_{out}=\varepsilon$ определяется как максимально возможная скорость передачи данных, при которой $P_{out}<\varepsilon$. Другими словами, ПС канала C_ε при вероятности нарушения связи ε соответствует условию [2]:

$$P_{out}(C_\varepsilon) = \Pr(C(\mathbf{H}) < C_\varepsilon) = \varepsilon. \quad (32)$$

Проведем математическое моделирование ПС с учетом полученных выражений. Пусть элементы матрицы \mathbf{H} – комплексные случайные величины $H_1 + jH_2$, где H_1, H_2 – независимые и одинаково распределенные (independent and identically distributed – i.i.d.) гауссовские (нормальные) случайные величины с нулевым средним и дисперсией σ^2 , т.е. $H_{1,2} \in N(0, \sigma^2)$, а модуль $|\dot{H}| = \sqrt{H_1^2 + H_2^2}$ имеет релейское распределение.

Для создания канальной матрицы \mathbf{H} воспользуемся встроенной функцией `randn()` СКМ MATLAB, с помощью которой формируются случайные числа, распределенные по гауссовскому закону с нулевым средним и дисперсией $\sigma^2 = 1$, т.е. $N(0,1)$. Для выполнения условия

$$|\dot{H}| = 1 \text{ необходима нормировка } \frac{1}{\sqrt{2}}(H_1 + jH_2).$$

Результаты моделирования

С учетом выражений (19), (18) и применения к ним оптимизационной процедуры Karush-Kuhn-Tucker [3] было проведено математическое моделирование эргодической ПС каналов связи ММО с различной конфигурацией АЭ на передающей и приемной стороне при наличии и отсутствии информации о канале связи (CSI). Результаты моделирования зависимости эргодической ПС как функции отношения сигнал-шум (ОСШ) приведены на рис.4. Как видно из рис. 4, эргодическая ПС растет при увеличении количества АЭ на стороне передатчика и приемника. Потенциальный рост ПС определяется исключительно габаритными размерами антенной системы. При этом информация о канале ММО имеет выигрышное значение преимущественно при малых ОСШ и слабо улучшает ПС при больших ОСШ. Например, для схемы ММО 6x6 при ОСШ равном 5 дБ различия в эргодической ПС каналов ММО с CSI и без составит 10 дБ.

С учетом (31) – (34) было проведено численное моделирование ПС канала ММО конфигурации 4x4 с учетом различных значений вероятности нарушения связи, результаты которого представлены на рис. 5 и 6 в виде зависимостей ПС при заданных вероятностях нарушения связи P_{out} от соотношения сигнал шум (ОСШ). На рис. 5 показана зависимость ПС с учетом вероятности нарушения связи от собственно самой вероятности нарушения связи при заданных ОСШ – 0, 5, 10, 15 и 20 дБ. На рис. 6 представлена зависимость ПС от ОСШ при ПС с учетом заданной вероятности нарушения связи, которая равна $C_{\dot{a}}=0.1$ (10 %), $C_{\dot{a}}=0.2$ (20 %), $C_{\dot{a}}=0.3$ (30 %), $C_{\dot{a}}=0.4$ (40 %) и $C_{\dot{a}}=0.5$ (50 %).

Как видно из рис. 5, 6, чем жестче требования к каналу связи ММО (то есть вероятность нарушения связи ниже), тем меньше ПС в нем при заданных ОСШ. Например, при ОСШ 10 дБ и вероятности нарушения связи 10 % скорость передачи в канале равна 9 bps/Hz; при вероятности нарушения связи 40 % – 11 bps/Hz, это соответствует потерям ПС 2 bps/Hz (иногда такие потери ПС бывают существенными - в случае широкополосных систем связи).

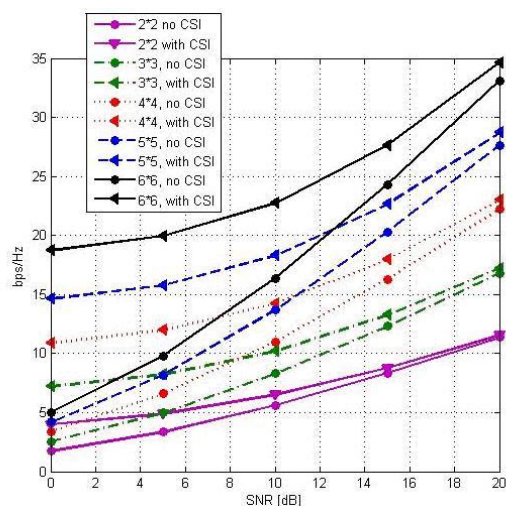


Рис. 4

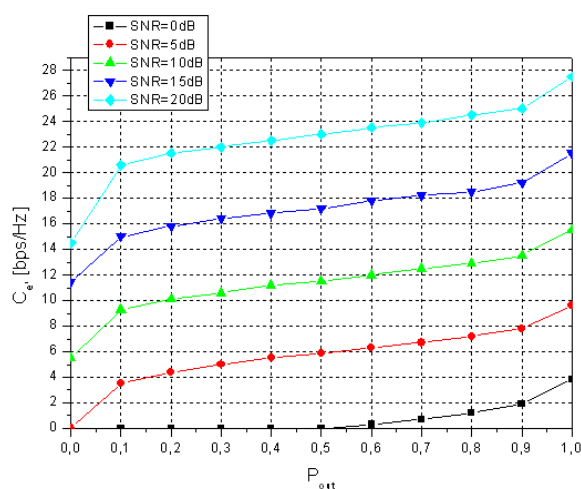


Рис. 5

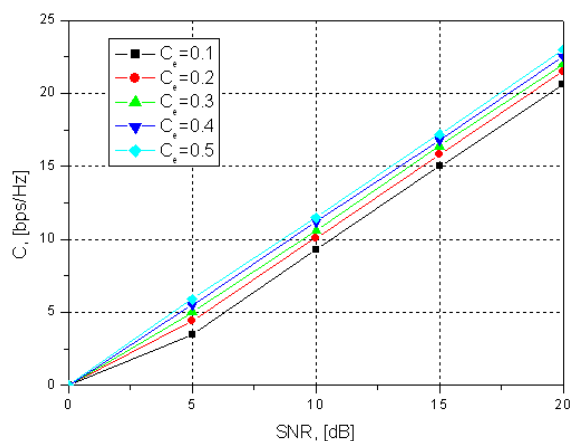


Рис. 6

Выводы

Таким образом, если АЭ передатчика могут взаимодействовать между собой и у них есть информация о мгновенных состояниях матрицы \mathbf{H} (CSI), то такая система передачи имеет лучшие характеристики по сравнению с простой передачей независимых потоков данных с равной мощностью по N_T входам канала MIMO. При отсутствии данных о канале MIMO на стороне передатчика, лучшей стратегией является передача N_T независимых потоков данных с равной мощностью. Из рис. 6 видно, что ужесточение требований к системе связи с MIMO (уменьшение ПС при заданной вероятности нарушения связи – C_a) приводит к меньшим значениям собственной ПС.

Список литературы: 1. Hanzo, L, Alamri, O., El-Hajjar, M., Wu, N. Near-Capacity Multi-Functional MIMO Systems: Sphere-Packing, Iterative Detection and Cooperation // Wiley-IEEE Press, 2009. – P. 25-44. 2. Goldsmith, A., Jafar, S.A., Jindal, N., Vishwanath, S. Fundamental Capacity of MIMO Channels. – Stanford : Stanford University, 2002. – P. 5-27. 3. Kuhn, V. Wireless Communications over MIMO Channels. – Germany : Universitat Rostock, 2006. – P. 51-89. 4. Lau, B.K., Ow, S.M.S, Kristensson, G., Molisch, A. F. Capacity Analysis for Compact MIMO Systems // IEEE Antennas and Propagation Society. – 2005. – Vol. 1. – P. 165-170. 5. Wrulich, M. Capacity Analysis of MIMO Systems. – Wien, Janner 2006. – P. 21-85. 6. Tsoulos, G. MIMO system technology for wireless communications / By Taylor & Francis Group, 2006. – P. 29-113.

Харьковский национальный
университет радиоэлектроники

Поступила в редколлегию 25.04.2012